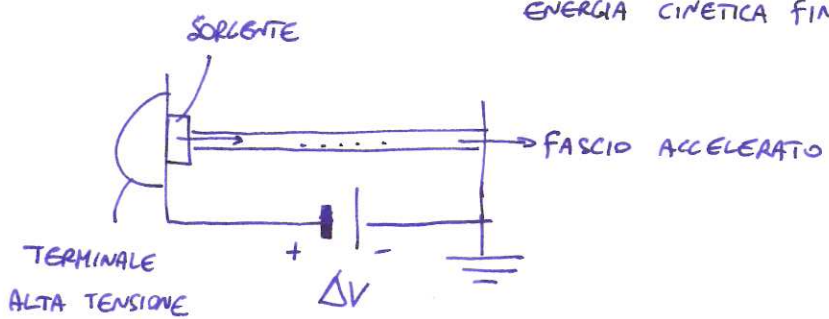


**ACCELERATORI ELETTROSTATICI**

$$q\vec{a} \cdot \vec{E} = 0 \rightarrow q \int \vec{E} d\vec{l} = 0 \rightarrow \int \vec{E} = - \vec{D}V$$

$$qT = qDV$$

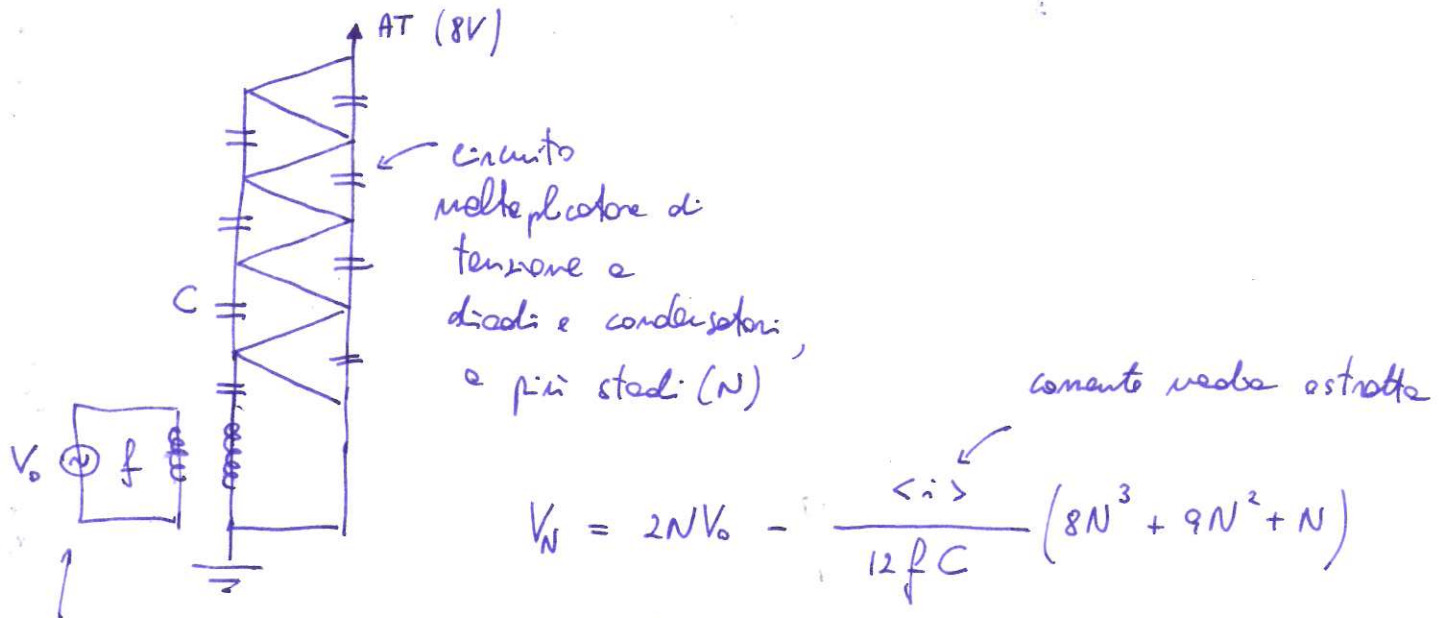
↑  
ENERGIA CINETICA FINALE



- COCKROFT - WALTON (fluo  $\approx$   $\sim 10^5$  MV)

Problemi che ~ limiti:

- 1) isolamento elettrico ad alte  $\Delta V$
- 2) potenza dissipata / impegnamento dei componenti elettro.



dimenticare in  
alternata  $\Rightarrow$  basse  
tensioni

$\Rightarrow$  perché  $2NV_0 \geq V_N$ , megiora  $\Rightarrow$  l'energia finale  
di accelerazione, mentre  $\Rightarrow$  la corrente estratta  
(valido in genere per tutti gli acc. e.s.).

$\Rightarrow V_N$  fluttua nel tempo per il processo di carica/scarica  
de-C:  $DV_N = \frac{1}{2} \frac{N(N+1)K_i}{fC}$

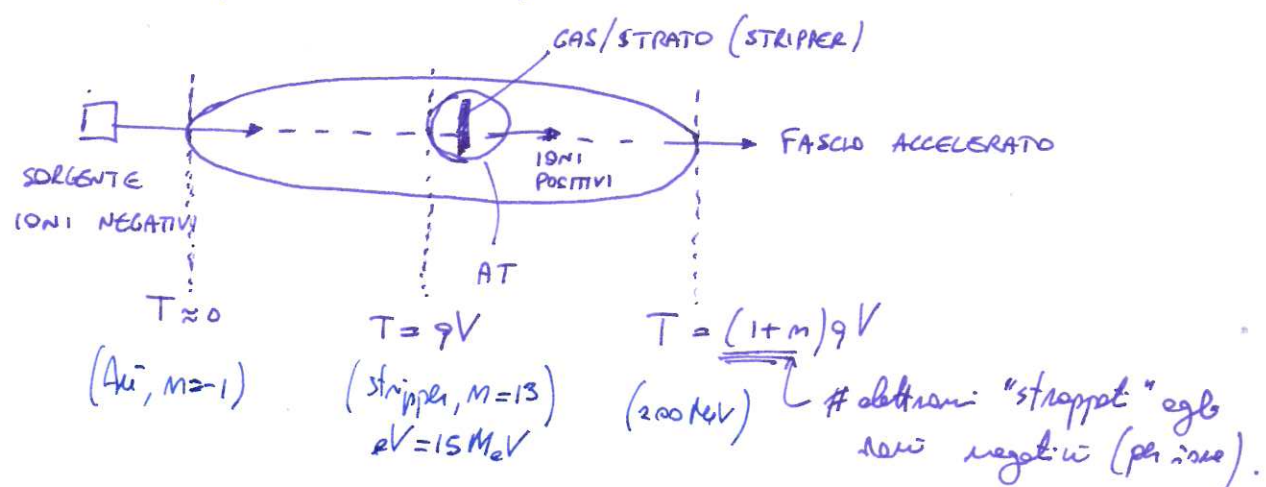
• VAN DE GRAAF (fus  $\approx \sim 10$  MV)

L'accumulo di alta tensione è generato in questo caso dalla deposizione meccanica (per efflusso) di carica su un tamburo metallico. Quest'ultimo si carica ed alta tensione che da produrre viene estraetta, ricalcolando le particelle accelerate verso terra ( $V=0$ ). Sistema elettra-mecanico.

Problematile e limiti: isolamento ad alta tensione,  
sforz. meccanico ad elevat. corpi elettrici.

Vantaggi rispetto al C-W: stabilità di tensione

• TANDEM VAN DE GRAAF (fus  $\approx \sim 200$  MV)



ACCELERATORI ELETTRODINAMICI.

Eqs. di Maxwell per campi e.m. variabili nel tempo:

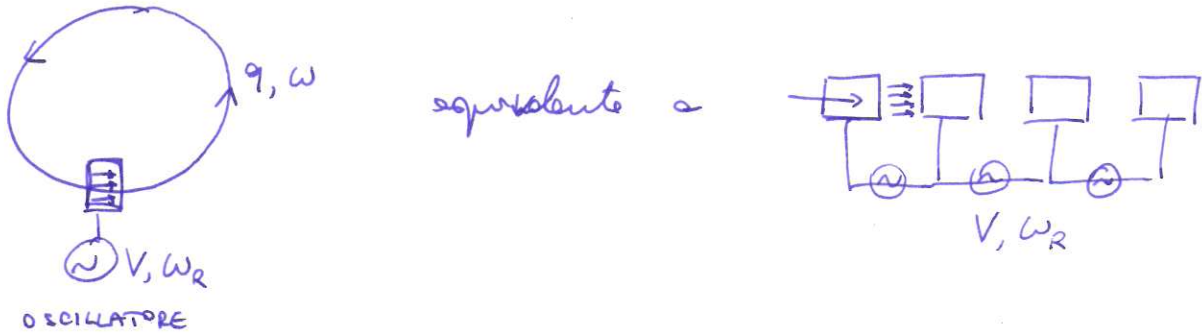
$$\left\{ \begin{array}{l} \vec{E} = -\vec{\nabla}V - \frac{\partial \vec{A}}{\partial t} \\ \text{rot} \vec{E} = -\frac{d\vec{B}}{dt} \end{array} \right.$$

esiste un potenziale elettrico che genera  $\vec{E}$  tal per cui questo è zero nulla al di fuori di una certa regione a  $\vec{\nabla}V \neq 0$  del potenziale elettrico maggiore  $\vec{A}(t)$ .

$$\Rightarrow \oint \vec{E} d\vec{l} = -\frac{d\phi(\vec{B})}{dt}$$

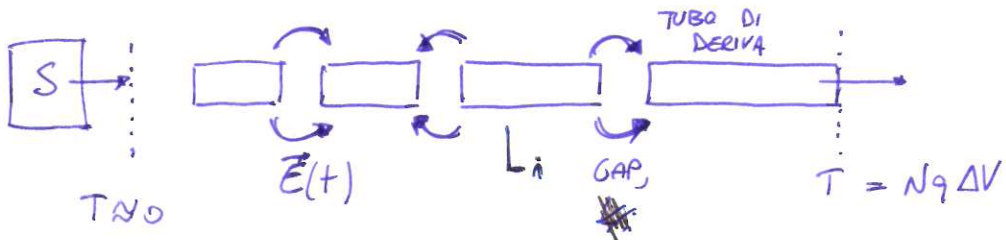
è possibile costruire percorsi chiusi su quali  $\vec{E}$  NON-ROTAZIONALE (NON-CONSERVATIVO) favorisce aumento di energia

• è possibile modulare  $\vec{B}(t)$  in una certa regione spaziale per creare  $\vec{E}$  non-conservativo.



In entrambi i casi, la presenza di un oscillatore impone le richieste di sincronismo fra il verso del campo elettrico e il percorso delle particelle nello elemento a RADIO FREQUENZA (RF). L'accelerazione finale (guadagno di energia) è fornita dal percorso consecutivo delle particelle - generato ALTROVE - nell'elemento RF.

- ACCELERATORI LINEARI di WIDERÖE

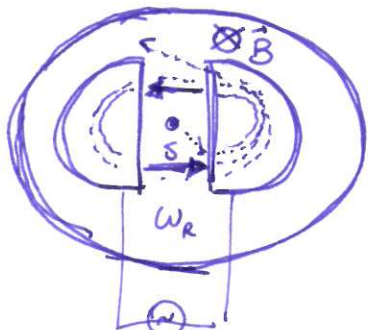


$$2h\omega = \omega_R \quad h \in \mathbb{N}$$

$$\frac{2h\beta c}{L_i} = f_R \Rightarrow L_i = \frac{2h}{f_R} \lambda_R \beta$$

- ← limitata a basse frequenze, le dimensioni lo rendono tecnicamente insopportabile.
- ← grande  $\lambda_R$  & dimensioni della corrente elettrica (costanti CONCENTRATE), queste riducono ad IRRAGGIARE, dimensioni O' efficienze energetiche del sistema.

CICLOTRONE di LAWRENCE (B UNIFORME) ed EVOLUZIONI



$$T_R \approx 0$$

$$\omega_2 = \frac{qB}{\gamma m_{\text{eac}}}$$

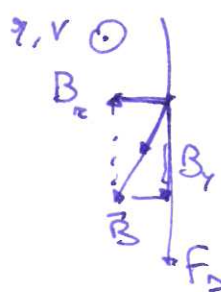
$$P = \frac{q}{c} B p$$

$$V_0 \sin(\omega_R t + \phi_0)$$

$$T = \frac{P^2}{2m} \approx \left(\frac{q}{c}\right)^2 (B p)^2 \frac{1}{2m_0}$$

$$\frac{\Delta P}{P} = \frac{\Delta p}{p} = \frac{1}{2} \frac{\Delta T}{T_R} \xrightarrow{\text{proba.}} \frac{\approx 100 \text{ keV}}{\approx 100 \text{ MeV}}$$

$$L \approx 5 \cdot 10^{-4} \text{ cm/prova}$$



$$\text{EQUILIBRIO: } \frac{mv^2}{r} = qvB$$

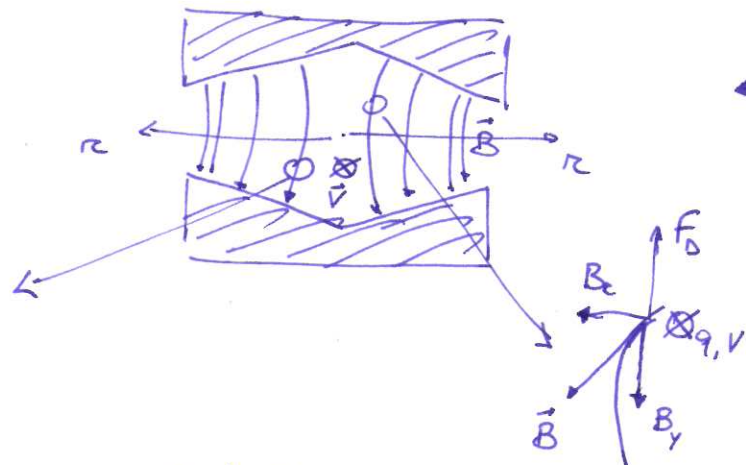
$$\omega_R = \frac{h}{\tau}$$

Se modulo  $\omega_R$

nel tempo d'incrementare  
di  $\omega$  ( $P$ ). In questo  
caso,  $p$  AUMENTA ma

$T_{RIV} = \text{cost.}$ , ed ogni giro  
 $\Rightarrow$  SINCRON-CICLOTRONE

$B(r)$  viene  
seguito su  
medio da  
monotasse  $\omega$   
COSTANTE  
d'incremento  
di  $p$  ( $P$ )  
 $\Rightarrow$  CICLOTRONE  
A SETTORI



Deforchiamento VERTICALE:

$$f_D = \frac{q}{c} v B_x$$

$\Rightarrow$  instabilità del moto delle particelle,  
che non raggiungono conflitto nel  
punto verticale.

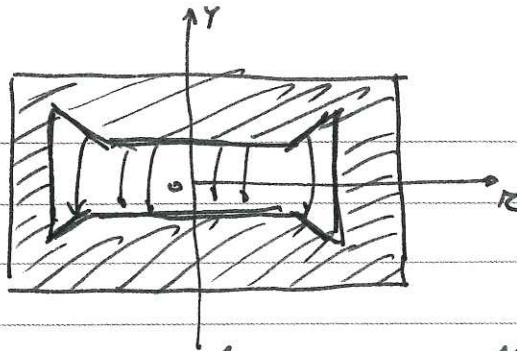
$\Rightarrow$  La segnalazione dei poli permette  
permette di focalizzare nel campo  
il moto delle particelle, i settori  
concentrano inoltre di intradurre  
DIAGNOSTICA del fascio nell'accelera-  
tore.

Principe Lawrence:

costo  $\sim$  dimensioni  $\sim P^3$ , per  
det.  $\vec{B}$  (anche superconduttori)

## • BETATRONE

$$\left\{ \begin{array}{l} \oint E_0 dl = - \frac{d\phi(\bar{B}_r(t))}{dt} \\ \frac{dP_{el}(r)}{dt} = q E_0(r) \end{array} \right.$$



$$\left\{ 2\pi r E_0(r) = -\pi r^2 \frac{d\bar{B}(r)}{dt} \right. \quad \left. \begin{array}{l} \text{induzione magnetica MEDIA sulla} \\ \text{superficie di area } \pi r^2 \text{ ricevuta dalla} \\ \text{circonferenza con raggio } r. \\ E_0(r) : \\ \text{il campo elettrico (tangenziale) calcolato al} \\ \text{raggio } r. \end{array} \right.$$

dal rotatore  $\theta$  di  $\vec{E}$ :

$$\frac{1}{r} \left[ \frac{\partial(r E_0)}{\partial r} - \frac{\partial E_r}{\partial \theta} \right] = - \frac{d\bar{B}_r(r)}{dt};$$

Sceglio un  $r$  specifico, così che  $r = \text{const.}$ , e troviamo:

$$\frac{E_0}{r} - \frac{1}{r} \frac{\partial E_r}{\partial \theta} = - \frac{d\bar{B}_r(r)}{dt}.$$

il sistema è a  
simmetria cilindrica,  
cioè  $\vec{E}$  non dipende da  $\theta$ ,

$$\Rightarrow \frac{\partial E_r}{\partial \theta} = 0$$

osserviamo  $B_y = B_r(r, t) = B_r(t)$  ad  
uno specifico

$$\left\{ \begin{array}{l} E_0(r) = -\frac{\pi}{2} \frac{d\bar{B}_r(r)}{dt} \\ E_0(r) = -r \frac{dB_r(r)}{dt} \end{array} \right. \Rightarrow \boxed{\frac{dB_r(r)}{dt} = \frac{1}{2} \frac{d\bar{B}_r(r)}{dt}}$$

$\uparrow$   
variazione int  
del campo  $B_r$   
LOCALE ( $r$ )

$\uparrow$   
variazione int  
del campo  $B_r$   
MEDIO ( $\pi r^2$ )

Questa relazione garantisce la stabilità del moto nel piano di curvatura in quanto l'orbita è circolare (chiusa) e l'accelerazione di moto di  $E_0$  è centrale e uniforme in media.

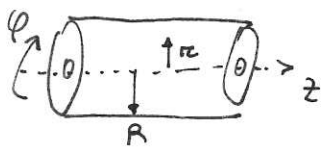
L'attrazione delle linee di forza di  $B_r$  è opposta a quelle del ciclotrone di Larmor, dunque la relazione sussiste ( $B_r$  è più intenso al centro che a grandi  $r$ )  $\Rightarrow$  il BETATRONE fornisce un FOCAGGIAMENTO VERTICALE naturale (oscillazioni di BETATRONE)



# STRUTTURE RF (RISONANTI)

(10)

- CELLA PILL-BOX



Corte idiale (condutibilità infinita) metallica cilindrica.

Condizioni al contorno per  $\vec{E}$ ,  $\vec{B}$ :  $\begin{cases} E_z(r=R) = 0 & \leftarrow \text{cavo accelerante nullo sulla parte} \\ B_{\varphi}(r=0) = 0 & \leftarrow \text{cavo magnetico nullo sull'estre} \end{cases}$

$$\begin{cases} \frac{\partial E_n}{\partial z} = 0 \\ \frac{\partial B_n}{\partial \varphi} = 0 \end{cases} \rightarrow \text{ celle simmetriche cilindriche}$$

Eq. Maxwell:

$$\left( \vec{\nabla} \times \vec{E} \right)_\varphi = - \frac{\partial B_\varphi}{\partial t} \quad \int_0^r \frac{\partial E_n}{\partial z} - \frac{\partial E_z}{\partial r} = - \frac{\partial B_\varphi}{\partial t} \cdot J_r$$

$$\left( \vec{\nabla} \times \vec{B} \right)_z = \frac{1}{c^2} \frac{\partial E_z}{\partial t} \quad \int_0^r \frac{1}{r} \left[ \frac{\partial (\pi B_\varphi)}{\partial r} - \frac{\partial B_\varphi}{\partial \varphi} \right] = \frac{1}{c^2} \frac{\partial E_z}{\partial t} \cdot J_t$$

$$\left\{ \begin{array}{l} \frac{\partial^2 E_z}{\partial r^2} = \frac{\partial^2 B_\varphi}{\partial r^2} \\ \frac{1}{r} \frac{\partial B_\varphi}{\partial r} + \frac{\partial^2 B_\varphi}{\partial \varphi^2} = \frac{1}{c^2} \frac{\partial^2 E_z}{\partial t^2} \end{array} \right. \Rightarrow \boxed{\frac{\partial^2 E_z}{\partial r^2} + \frac{1}{r} \frac{\partial E_z}{\partial r} = \frac{1}{c^2} \frac{\partial^2 E_z}{\partial t^2}}$$

Risolvendo la separazione delle variabili, cercando una soluzione del tipo:  $E_z(r, t) \sim A(r) e^{i(\omega t + \phi_0)}$ . Dalla sostituzione:

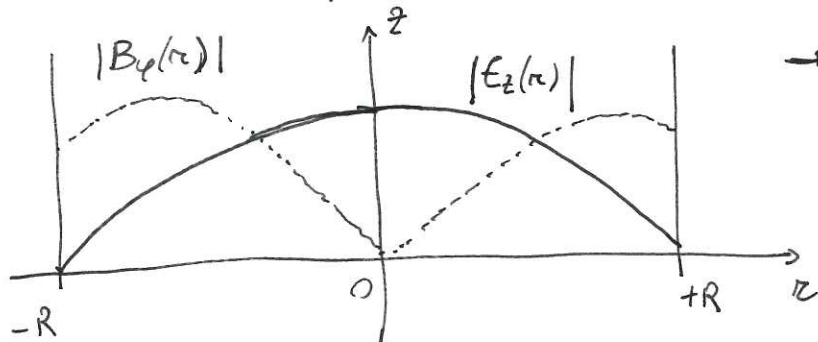
$$A(r) = a_0 J_0 \left( \frac{\omega r}{c} \right) \leftarrow \text{funzione di Bessel di ordine 0.}$$

La condizione  $E_z(r=R) = 0$  è soddisfatta dal primo zero (in r) di  $J_0$ , cioè:  $\frac{\omega r}{c} = 2.405 \Rightarrow \boxed{\omega_R \approx \frac{1}{R}}$

Per forza accelerati in prossimità dell'estremità delle celle,  $r \approx 0$ , abbiamo  $J_0(r \approx 0) \approx 1 \Rightarrow \boxed{E_{z,0} \approx E_{z,0} \cos(\omega t + \phi_0)}$ .

N.B.: a differenza di un'onda e.m. nel vuoto, le condizioni al contorno imposte dalla geometria delle celle metalliche consentono di avere  $E_z \neq 0$  lungo la direzione di propagazione dell'onda.

Distribuzione dei campi  $E_z, B_y$  nelle celle:



→ per fasci accelerati sull'asse delle celle e le cui dimensioni trasverse sono  $\ll R$ , possono considerare  $B_y = 0$  e  $E_z \neq 0$  ai fini della dinamica.

- STRUTTURA PERIODICA: "TRAVELLING WAVE".

Considerare una sequenza periodica di celle (identiche). Il TEOREMA DI FLOQUET stabilisce che la componente  $E_z$  all'interfaccia degli elementi ripetitivi (che differisce di più da una costante (in generale, numero complesso): considera il caso di una ONDA VIAGGIANTE (Traveling wave):

$$E_z^{TN} = \sum_{m=0}^{\infty} \alpha_m J_0(k_m r) \cos(\omega t - k_m s + \phi_0)$$

estremo PERIODICO,  
può espandersi  
in serie di FOURIER

onde propaganti: alla glosse  $\omega_R$  ne obiette  
moltanissime d'onda, dove:  $k_m = k_0 + \frac{2\pi m}{d}$ ,  
 $d$  = distanza tra 2 celle

La velocità di fase  $v_{ph}^m = \frac{\omega}{k_m}$  è differente per ogni modo. In genere si costruisce la struttura con i RISI interne t.c. solo il modo FONDAMENTALE ( $m=0$ ) abbia  $v_{ph} \approx c$ . Permette particelle ultrarelativistiche senza SINCRONE con il modo fondamentale (con il fronte dell'onda).

$$\Rightarrow E_z^{TN} \approx E_{z,0}^{TN} \cos(\omega t - ks + \phi_0)$$

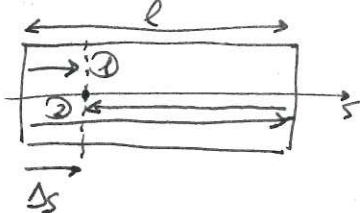
$M=0$   
 $r \approx 0$

- STRUTTURA PERIODICA: "STANDING WAVE".

Un'onda si blocca in una struttura poiché può essere intesa come la sovrapposizione lineare di 2 onde viaggianti in direzione opposta, ma come nel caso precedente, l'altra RIFLESSA dalle estremità della struttura:

$$E_z^{SW} \approx E_{z,0}^{TN} \cos(\omega t - ks) + E_{z,0}^{TN} \cos(\omega t - k(2l-s))$$

$M=0$   
 $r \approx 0$



In notazione complessa troviamo:

$$e^{i(\omega t - ks)} + e^{i(\omega t - k(2l-s))} = e^{i\omega t} e^{-iks} + e^{i\omega t} e^{-ik(2l-s)} = \\ = e^{i\omega t} e^{-iks} (1 + e^{-i2k(l-s)}) = e^{i\omega t} e^{-iks} \left( \frac{1 + e^{-i2k(l-s)}}{2e^{-i2k(l-s)}} \right) \cdot 2e^{-ik(l-s)} = \\ \underbrace{\cosh}_{\text{cosh}}$$



$$= 2 \tilde{e}^{ikl} e^{iwt} \cosh(i k(l-s)) = \underbrace{2 \cos(kl)}_{\text{const.}} \cos(wt) \cos(k(l-s)).$$

Riapparende la veridile di  $\approx 1$  pregezone per le sw, possono sussire in genere:  $E_z^{\text{sw}} \approx E_{z,0}^{\text{sw}} \cos(wt) \cos(ks)$ .

Le diverse delle partecelle generice riferite alle partecelle sinrone c'è il campo può essere parametrizzata come:

$$t = t_s + \Delta t \underset{\beta \rightarrow 1}{\approx} t_s + \frac{z}{c}$$

In tal caso:

$$E_z^{\text{tw}} = \underbrace{E_{z,0}^{\text{tw}} \cos(wt - ks + \phi_0 + kz)}_{\phi_{RF}^{\text{tw}}} = E_{z,0}^{\text{tw}} \cos(\phi_{RF}^{\text{tw}} + kz)$$

$$E_z^{\text{sw}} = \underbrace{E_{z,0}^{\text{sw}} \cos(wt + \phi_0 + kz)}_{\phi_{RF}^{\text{sw}}} \cos(ks) \approx E_{z,0}^{\text{sw}} \cos(\phi_{RF}^{\text{sw}} + kz)$$

$\approx 1 \text{ ks} \ll 1$ ,  
singole celle

### TEMPO DI TRANSITO

Calcoliamo il giodego di enige di una partecelle generice ch attraversa una struttura RF in medietà sw: le singole celle i lungo  $[-\delta/2, \delta/2]$ . Il giodego totale sarà la somma dei giodeghe nelle singole celle (sincronismo).

$$\Delta E^{sw}(g, z) = q \int_{-g/2}^{g/2} \bar{E}_z^{sw} ds = q \bar{E}_{z,0}^{sw} \int_{-g/2}^{g/2} ds \cos(\omega t + kz + \phi_0) \cos(kz) \approx$$

$\approx 1$  se  $g \ll 1$ ,  
che  $k|s| = kg \ll 1$ ,  
cioè l'ampiezza di  $\bar{E}_z$   
è di un certo +, dunque  
la cella, è  $\approx$  cost.

$$\approx q \bar{E}_{z,0}^{sw} \int_{-g/2}^{g/2} ds \left[ \cos(\omega t) \cos(kz + \phi_0) - k \sin(\omega t) \sin(kz + \phi_0) \right] =$$

$$= q \bar{E}_{z,0}^{sw} \int_{-g/2}^{g/2} ds \left[ \cos\left(\frac{\omega s}{B_2 c}\right) \cos(kz + \phi_0) - \sin\left(\frac{\omega s}{B_2 c}\right) \sin(kz + \phi_0) \right] =$$

$$= q \bar{E}_{z,0}^{sw} \left[ \frac{1}{\left(\frac{\omega}{B_2 c}\right)^{1/2}} \sin\left(\frac{\omega s}{B_2 c}\right)^{1/2} \cos(kz + \phi_0) \right]_{-g/2}^{g/2} =$$

$$= q \bar{E}_{z,0}^{sw} g \cdot \underbrace{\frac{\sin(x)}{x}}_{\leq 1} \cos(kz + \phi_0) = , \quad x := \frac{\omega g}{2B_2 c}$$

$$\boxed{\approx \Delta V_0^{sw}(g) T_{trc} \cos(kz + \phi_0)}$$

$T_{trc}$  è un certo del fatto che la corrente attraverso la cella in un tempo fisico  $\Delta t = \frac{g}{B_2 c}$ , nel quale l'ampiezza di  $E_z(t)$  cambia (e varia) rispetto al valore massimo ottenuto. Tipicamente  $T_{trc} \in [0.85, 0.95]$ .

$$\Delta E^{TN}(g, z) = q \int_{-g/2}^{g/2} \bar{E}_z^{TN} ds = q \bar{E}_{z,0}^{TN} \int_{-g/2}^{g/2} ds \cos(\underbrace{\omega t - ks + \phi_0 + kz}_{\rightarrow \phi_0 \text{ per } B_2 \rightarrow 1}) \approx$$

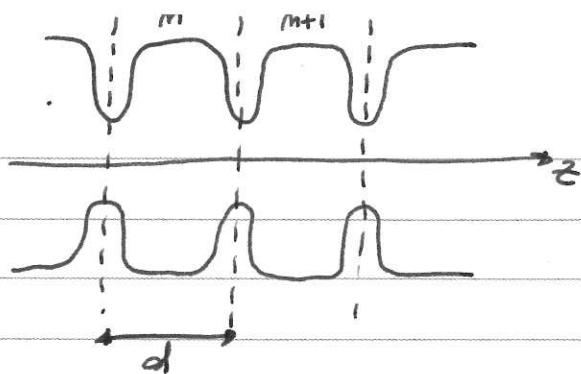
$$\boxed{\approx q \bar{E}_{z,0}^{TN} g \cos(kz + \phi_{RF})}$$

Nel caso di una TN, si supponga che corrente e campo elettrici siano entrambi  $V_s$ ,  $V_t$  nella cella, del fatto che il campo è associato ad un'onda che VIAGGIA lungo con la part-cellula, cioè  $V_{ph} = V_z$ . Questo SINCRONISMO impone anche ( $\rho = z = 0$ ):

$$\underbrace{\omega t_m + ks_m + \phi_0}_{\phi_m} = \underbrace{\omega t_{m+1} - ks_{m+1} + \phi_0}_{\phi_{m+1}} = \omega(t_m + \frac{d}{B_2 c}) + \phi_{m+1}$$

$$\Rightarrow \Delta \phi_m = 2\pi \frac{d}{B_2 \lambda_{RF}}, \text{ AVANZAMENTO DI FASE DEL CAMPO PER CELLA.}$$

$$\begin{aligned} B_2 &\rightarrow 1, \quad \frac{d}{\lambda_{RF}} \in \mathbb{Q} \\ \text{es. } \Delta \phi_m &= \frac{2\pi}{3}, \frac{\pi}{3}, \frac{5}{6}\pi, \text{ ecc.} \end{aligned}$$



Le scelte\* geometrie  $\frac{d}{\lambda_{RF}} \in \mathbb{Q}$  garantisce (11) che le partecelle si seggiano alla stessa fase del  $E_z$  al passeggiò in ogni cella.  
In altre parole, quando la partecella è nella cella ( $m$ ) e vede una fase  $\phi_m$ , la fase del campo nelle celle ( $m+1$ ) (nello stesso istante) è  $\phi_{m+1}$ . Al momento in cui la partecella arriverà alle celle ( $n+1$ ), la fase del campo sarà marcatamente  $\phi_{n+1} + \Delta\phi_m = \phi_n$ .

EXCURSUS sulla VELOCITÀ di FASE e di GRUPPO di un'ONDA.

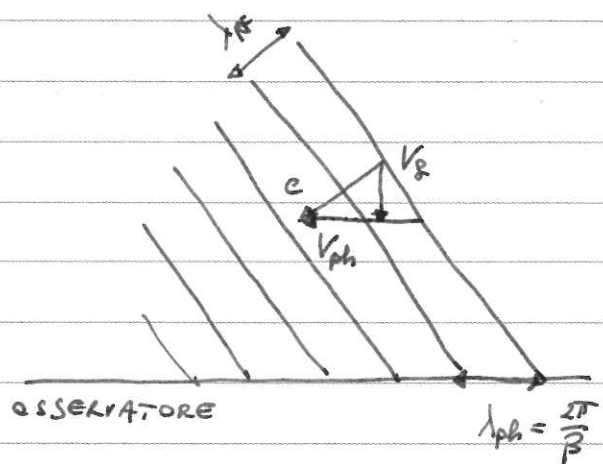
$$k := \frac{\omega}{c}, \text{ VETTORE DI ONDA}$$

$$v_{ph} := \frac{\omega}{\beta} (\geq c)$$

$$v_g = \frac{dw}{d\beta} (\leq c)$$

$$\beta^2 = |k^2 - k_c^2|, \text{ COSTANTE DI PROPAGAZIONE}$$

$\nwarrow$   $v_w$  di CURE FP, dipende dalla geometria della struttura



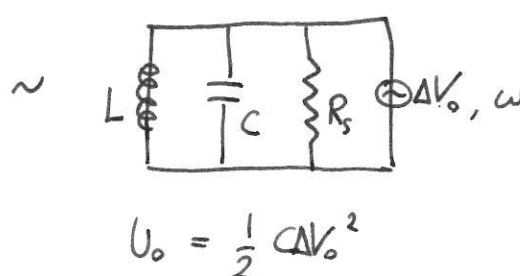
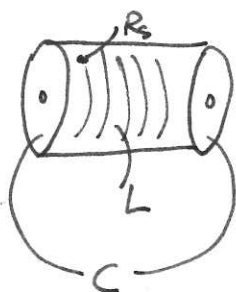
$c$  = velocità di propagazione dell'onda e.m. nel vuoto

$v_g$  = velocità di propagazione dell'ENERGIA associata all'onda e.m.

$v_{pe}$  = velocità di trasporto del FRONTE DI ONDA verso l'osservatore.

In strutture risalenti ( $\tau_w$ ),  $v_{ph} \leq c$  per costruzione e di per sé dalla dimensione delle IRIDI delle celle.

CAVITA' ACCELERANTI RIDONANTI ~ CIRCUITO RLC o "costanti concentrate"



$$U_0 = \frac{1}{2} C \Delta V_0^2$$

$$\omega = \frac{1}{\sqrt{LC}} \quad \text{frequenza di}$$

RISONANZA, allo quale si ha la massima trasmissione di energia agli elementi REATTIVI (L,C)

RESISTENZA DI SHUNT:

$$R_s := \frac{\Delta V_0^2}{\bar{P}_d} \quad \begin{matrix} \leftarrow \text{potenziale accelerante} \\ \text{di poco} \end{matrix}$$

$\leftarrow$  potenza media dissipata  
(in un percorso RF) negli elementi RESISTIVI

impedenza  
RESISTIVA

FATTORE DI MERITO:

$$Q := \frac{U_0 \omega}{\bar{P}_d} = \frac{\text{energia accumulata in } T_{RF}}{\text{potenza media dissipata}} = \frac{1}{\sqrt{LC}} \frac{1}{2} C \Delta V_0^2 \frac{R_s}{\Delta V_0^2} = \frac{(R_s)}{(2 \sqrt{\frac{L}{C}})}$$

Definiamo le variabili introdotte sopra per unità di lunghezza delle cavità:  $u := \frac{dU_0}{dz}$ ,  $\frac{d\bar{P}_d}{dz}$ ,  $r_s = \frac{R_s}{l}$

impedenza  
REATTIVA

$$\Rightarrow Q = \frac{\omega u}{\frac{d\bar{P}_d}{dz}}$$

$$\Rightarrow \Delta V_0 = \sqrt{\bar{P}_d r_s l}$$

$$\Rightarrow E_{z,0}^2 \approx \left( \frac{\Delta V_0}{l} \right)^2 = \frac{\bar{P}_d r_s l}{l^2} \approx r_s \frac{d\bar{P}_d}{dz}$$

L'EFFICACIA di ACCELERAZIONE è espressa come il rapporto tra il campo accelerante (GRADIENTE) e la quantità di energia immessa nella cavità, per unità di lunghezza:

$$\frac{r_s}{Q} = \frac{E_{z,0}^2}{\frac{d\bar{P}_d}{dz}} \frac{\frac{d\bar{P}_d}{dz}}{\omega u} = \frac{E_{z,0}^2}{\omega u}$$

La variazione di energia immessa nel tempo dipende dalla  $P_d$  nella cavità:

$$P_d = -\frac{dU}{dt} = \frac{\omega U}{Q} \Rightarrow U(t) = U(t=0) e^{-\frac{\omega t}{Q}}$$

$$t_f := \frac{Q}{\omega}, \text{ TEMPO DI RICHIAMENTO}$$

Significato di  $Q$ :

- $Q$  grande vuol dire che l'energia  $U$  immessa in canto' viene dissipata negli elementi resistivi dopo un tempo  $t$  lungo. Quindi  $Q$  è il numero di volte  $R$  dopo il quale  $U \rightarrow U/e$ .
- $Q$  grande implica che il campo accelerante cresceva ad  $U_0$  rispetto alla canto' per tempo lunghi ( $Q \approx 10^3 \div 10^4$  in NE-SE blocks).

Significato di  $R_s$ :

- $R_s$  grande vuol dire che è possibile generare un  $\Delta V$  grande a partire da potenze dissipate  $P$ .



$\frac{R_s}{Q}$  grande implica un gradiente accelerante grande a partire dall'energia immessa.

Il modello RLC troppo fuori = significa che non c'è in canto' una energia immessa in canto' generata in una o più acceleranti che permane nella struttura  $\Rightarrow$  SW.

Nel caso di TW,  $P_d \rightarrow -P$ , potenza negativa nella struttura, f.c.:

$$\boxed{P \neq \frac{dU}{dt} = \frac{dU}{dz} \frac{dz}{dt} \neq u \cdot v_g}$$

↑  
 velocità di  
 propagazione  
 dell'energia

In tal caso, il tempo di rientrare  $t_p$  è il tempo impiegato dall'impulso d'energia  $U$  ad attraversare la struttura

$$\boxed{t_p := \frac{l}{v_g}}$$

In generale,  $v_g$  viene definita dalla GEOMETRIA delle IRIDI,  $v_g \approx \left(\frac{a}{b}\right)^c \approx 0.1 \div 0.01c$

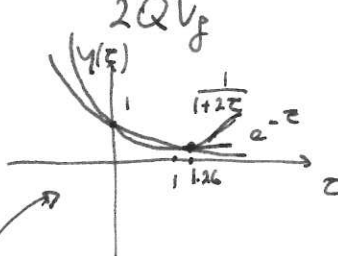
TW - IMPEDENZA COSTANTE (la geometria delle celle è identica per tutte le celle)

$$\begin{cases} Q = -\frac{w_m}{\frac{dP}{dz}} \\ P = u v_g \end{cases} \Rightarrow \frac{dP}{dz} = -\frac{w}{Q} \frac{P}{v_g} \Rightarrow P(\xi) = P_0 e^{-\frac{w}{Qv_g}\xi}$$

$$\begin{cases} \frac{R_s}{Q} = \frac{\epsilon_0^2}{w_m} \\ P = u v_g \end{cases} \Rightarrow \epsilon_0^2 = \frac{w_m}{Qv_g} P \Rightarrow \epsilon_0^2(\xi) = \frac{w_m}{Qv_g} P_0 e^{-\frac{w}{Qv_g}\xi}$$

Definiamo il fattore di attenuazione (det. come accelerata) totale:

$$\tau := \frac{\omega l}{2QV_F} \quad [\text{NEPER}]$$



$$\Rightarrow \begin{cases} E_2(s) = \sqrt{2\tau \frac{P_{0rs}}{l}} e^{-\tau \frac{s}{l}} \\ \Delta V_o = - \int_0^l E_2(s) ds = \sqrt{2\tau P_{0rs} l} \left( \frac{1 - e^{-\tau}}{\tau} \right) \approx 1 \end{cases}$$

Il massimo guadagno di energia è dato da  $\frac{d\Delta V_o}{d\tau} = 0$ , cioè

$$\tau = \frac{1}{2}(e^\tau - 1) \Rightarrow \tilde{\tau} = 1.26 \Rightarrow \Delta V_o(\tilde{\tau}) \approx 0.9 \sqrt{P_{0rs} l}.$$

N.B.: nella realizzazione pratica di TW-CI, è sufficiente garantire  $\tau \geq 0.8$  per messa a fuoco  $\Delta V_o$  senza dover diminuire ulteriormente  $V_F$ , quindi estendendo  $t_F = \frac{l}{V_F} = 2\tau \frac{Q}{\omega}$  eccessivamente lungo.



### TW - GRADIENTE COSTANTE

Se si assume  $E_2^2(s) = -\kappa_s \frac{dP}{ds} = \text{const.} \Rightarrow P(l) = P_0 + Gl;$

$$P(s) = P_0 + Cs =$$

$$= P_0 + \left( \frac{P_e - P_0}{e} \right) s;$$

Definiamo (x analogie col caso TW-CI):  $P_e = P_0 e^{-2\tau}$

$$\Rightarrow P(s) = P_0 + [P_0 e^{-2\tau} - P_0] \frac{s}{e} = P_0 \left[ 1 - (1 - e^{-2\tau}) \frac{s}{e} \right];$$

$$\Rightarrow V_F(s) = \frac{P(s)}{\mu} = P(s) \frac{\omega}{Q \frac{dP}{ds}} = \frac{\omega l}{Q} \frac{P_0 \left[ 1 - (1 - e^{-2\tau}) \frac{s}{e} \right]}{P_0 (1 - e^{-2\tau})} =$$

Le IRIDI si restringono lungo  
la carica per modificare  
 $V_F(s)$ . Al decrescere di  $P(s)$ ,  
 $V_F(s)$  diminuisce per  
mantenere  $E_2 = \text{const.}$

$$= \frac{\omega l}{Q} \left[ \left( \frac{1}{1 - e^{-2\tau}} \right) - \left( \frac{s}{e} \right) \right];$$

$$\boxed{|E_2(s)| = \sqrt{\kappa_s \frac{dP}{ds}} = \sqrt{\frac{\omega l c_s}{Q V_F} P(s)}} = \left\{ \frac{\omega l c_s}{Q} \frac{P_0 \left[ 1 - (1 - e^{-2\tau}) \frac{s}{e} \right]}{\frac{\omega l c_s \left[ 1 - (1 - e^{-2\tau}) \frac{s}{e} \right]}{(1 - e^{-2\tau})}} \right\}^{1/2} =$$

$$= \boxed{\sqrt{(1 - e^{-2\tau}) \frac{P_0 c_s}{l}}} = \text{const.} \quad (\text{CVD})$$

$$|\Delta V_0| \approx E_{z,0} l = \sqrt{(1-e^{-2c}) \frac{P_{\text{res}} l}{\omega}} .$$

Per il tempo di riacarico:

$$t_p = \frac{l}{V_f} \rightarrow \int_0^l \frac{ds}{V_f(s)} = \frac{\cancel{Q}}{\cancel{\omega}} \frac{3(1-e^{-2c})}{\cancel{(1+e^{-2c})}} \neq 2\pi \frac{Q}{\omega}, \text{ come già visto TW-CI.}$$

ESERCIZIO:

$$\text{dimostrare che: } \Delta V_0^{SW}(l) \geq \Delta V_0^{CG}(l) \geq \Delta V_0^{CI}(l)$$

$$\text{fattore } \frac{1}{\sqrt{1-e^{-2c}}}$$

$$\text{fattore } \frac{1}{\sqrt{2}} \sqrt{\frac{2c}{(1-e^{-2c})^2}} \quad (\rightarrow 1 \text{ per } c \rightarrow 0)$$

$$\text{e che: } E_{z,0}^{SW} \geq E_{z,0}^{CI} \geq E_{z,0}^{CG}$$

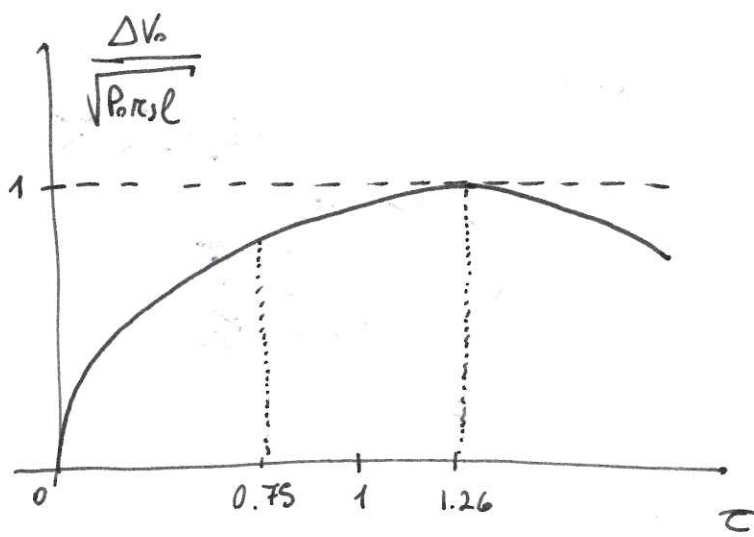
$$\text{fattore } \frac{1}{\sqrt{2c}}$$

$$\text{fattore } \sqrt{\frac{2c}{1-e^{-2c}}}$$

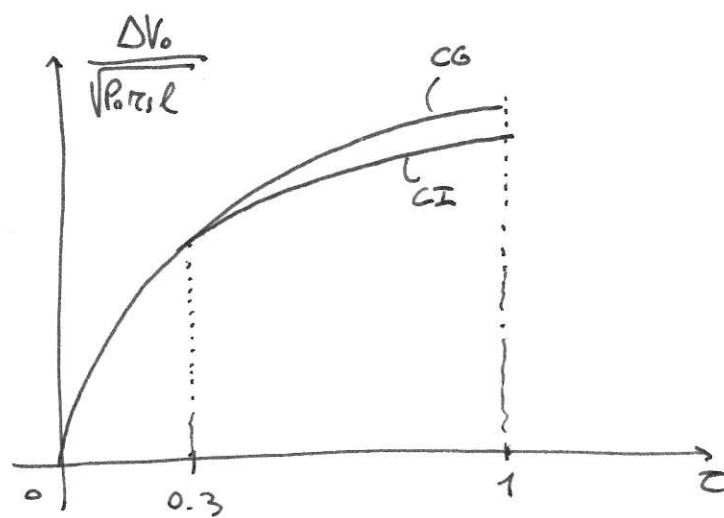
### NOTE GENERALI.

- 1) SW fornisce una maggiore efficienza di accelerazione ( $\frac{m}{Q}$ ), ma a seguito di  $t_p$  più pronato più lunghi che in TW.
- 2) TW-CI fornisce un maggiore  $E_z$  della TW-CG, ma a scapito di un più alto caro di picco sulla superficie delle ioni  $\Rightarrow$  aumenta la probabilità di scariche (anche all'interno della struttura). TW-CI è vantaggiosa dalle facoltà di fabbricazione (tutte le celle sono identiche).
- 3) TN-CG fornisce un maggiore  $\Delta V_0(l)$  della TW-CI con un minore caro di picco nella struttura. È vantaggiosa dalla combinazione di una fabbricazione e celle tutte diverse.

$TW - CI$



$TW - CG$  vs.  $TW - CI$  :



### TEOREMA DELL'ACCELERAZIONE

- 1) L'introduzione di IRIDI nella struttura RF permette di introdurre una componente  $E_z$  del campo elettrico (= GUIDA D'ONDA)  $\Rightarrow$  ACCELERAZIONE
- 2) E' possibile ACCELERARE (= GUADAGNO DI ENERGIA) una partecella carica nel vuoto?

↳ un'onda e-m nel vuoto, in assenza di conduttori d'antenna, interagisce con la partecella q tramite interazione q-fotone (FAR FIELD)  $\Rightarrow$  accelerazione implica assorbimento antenna dei fotoni senza necessaria r-radiazione.

Paradosso : q in queste,  $M = M_0 \quad \left\{ \begin{array}{l} M_0^2 = (M_0 + E_F)^2 - P_F^2; \quad (c=1) \\ \text{fotone assorbito, } P_F, E_F \end{array} \right. \quad \left\{ \begin{array}{l} P_F^2 = E_F^2 + 2m_0 E_F \end{array} \right.$

MA, per un fotone  $P_F = E_F$  cosicché la precedente vale  $\Leftrightarrow E_F = 0$   
 $\Rightarrow$  l'accelerazione contraddice la conservazione del momento ed ENERGIA